DOI: 10.17277/vestnik.2024.03.pp.426-437

### ОЦЕНКА ПРОИЗВОДИТЕЛЬНОСТИ ИЗМЕРЕНИЯ ЧАСТОТНЫХ ХАРАКТЕРИСТИК ФИЛЬТРОВ НИЖНИХ ЧАСТОТ ПРИ ТЕСТИРОВАНИИ СИГНАЛОМ С РАВНОАМПЛИТУЛНЫМ КОМПЛЕКСНЫМ РЯДОМ

### С. С. Фролов⊠, О. В. Худорожков, П. А. Павлов

Кафедра промышленной электроники и информационно-измерительной техники, frolovsergey7@mail.ru, ФГБОУ ВО «Оренбургский государственный университет», Оренбург, Россия

**Ключевые слова:** автоматизированное измерение; измерение частотных характеристик; ЛЧМ-импульс; прямоугольный спектр; равноамплитудный косинусоидальный ряд; равноамплитудный комплексный спектр; равноамплитудный полином; свипирование.

Аннотация: Приведены результаты исследования минимального времени измерения частотных характеристик (ЧХ) фильтров нижних частот (ФНЧ) при воздействии сформированным цифровым способом фрагментом сигнала с ограниченным равноамплитудным комплексным спектром. Сравнительный анализ процессов измерения ЧХ ФНЧ Чебышева шестого порядка показал – время установления спектра отклика ФНЧ на сигнал с ограниченным равноамплитудным комплексным спектром значительно меньше времени свипирования частоты с помощью ЛЧМ-сигнала.

#### Введение

Работа связана с исследованием перспектив применения тестового сигнала с ограниченным равноамплитудным комплексным спектром [1] (рис. 1)

$$D_N(x) = \frac{\sin\{N \ x/2\}}{\sin\{x/2\}} = \begin{cases} \sum_{k=-0,5(N-1)}^{0,5(N-1)} e^{ikx} & \text{при } N = 2K+1; \\ \sum_{k=-0,5N-1}^{N-1} \frac{i(2k+1)^{-1}}{2} & \text{при } N = 2K \end{cases}$$
 (1)

в автоматизированных измерительных системах ЧХ линейных четырехполюсников. Указанные системы востребованы при производстве и установке радиоэлектронных [2], измерительных [3], инфо- и телекоммуникационных систем [4]. В работе [1] функция (1) названа равноамплитудным полиномом (РАП).

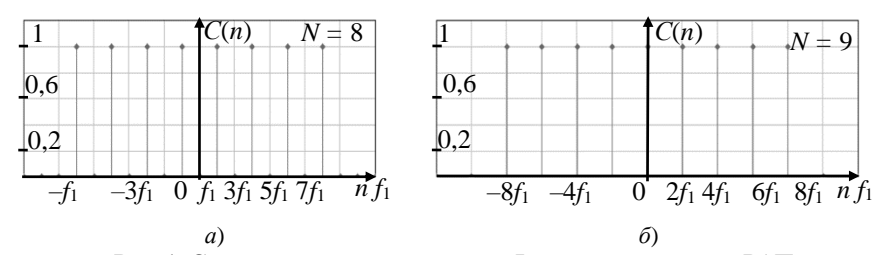


Рис. 1. Спектры комплексного ряда Фурье непрерывных РАП:  $a-N=2K;\; \delta-N=2K+1$ 

Ранее установлено — при формировании целого числа периодов  $T_{\rm d}$  дискретизированного фрагмента РАП (1), то есть с длительностью

$$T = N_p T_d, N_p = \{1, 2, 3, ...\},$$
 (2)

и при целом числе отсчетов на одну волну

$$N_{\rm S} = (T_{\rm d}/N)/\Delta t = T_{\rm d}F_{\rm S,1}/N = 2, 3, 4...,$$
 (3)

эффекта растекания спектра [5, 6] не наблюдается (рис. 2), и он достаточно близок к линейчатому спектру непрерывного РАП (см. рис. 1). Имеет место лишь неравномерность менее 0.1% обусловленная квантованием при разрядности  $Nb \ge 12$ .

Однако инерционность реакции фильтра (рис. 3) приводит к появлению составляющих спектра вне частот гармоник непрерывного РАП и грубому отклонению огибающей спектра отклика от ЧХ (рис. 4).

Распространенный простейший прием уменьшения дефектов (см. рис. 4) — растекания спектра и отклонения его от установившегося — увеличение длительности анализируемого фрагмента. Но для достижения заметного эффекта требуется от одного до нескольких десятков периодов, что существенно увеличит время анализа. Также точность измерения амплитудно-частотных характеристик (**АЧХ**) существенно зависит и от длительности ЛЧМ-импульса.

*Цель работы* — уменьшение времени измерения ЧХ при тестировании ФНЧ сигналом РАП, обусловленного инерционностью установления спектра, а также сравнение времени анализа с длительностью свипирования ЛЧМ-импульсом.

В работе не рассматривались полосовые фильтры, режекторные и фильтры верхних частот.

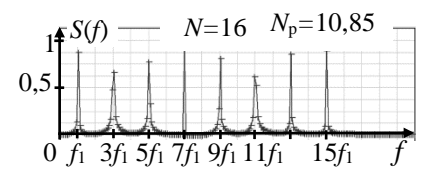


Рис. 2. Эффект растекания спектра при нецелом числе периодов

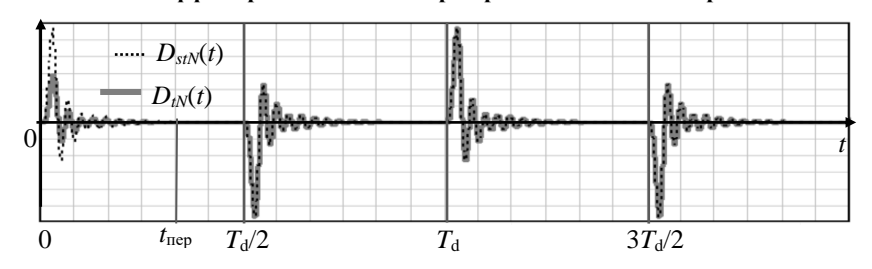


Рис. 3. Неустановившийся  $D_{tN}$  и установившийся  $D_{stN}$  отклики на РАП

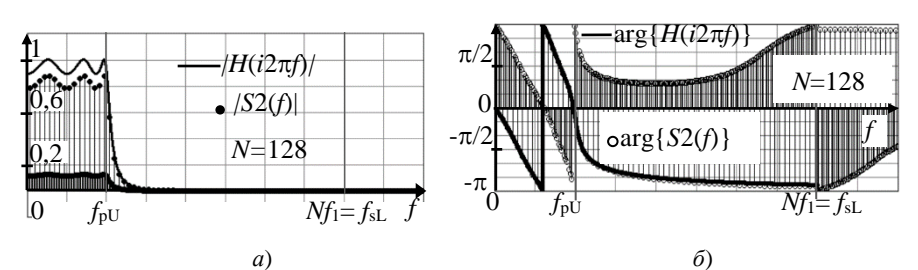


Рис. 4. ДПФ отклика ФНЧ-6 с учетом переходного процесса на фоне частотных характеристик при четном N:

a – амплитудный спектр на фоне АЧХ,  $\delta$  – фазовый спектр на фоне ФЧХ

#### Измерения частотных характеристик с учетом инерционности фильтра

Переходной процесс отклика на РАП рассмотрим на примере ФНЧ Чебышева (рис. 5) с параметрами ЛАЧХ (рис. 6, a)

$$H_0 = 0 \text{ дБ}, \quad \Delta H = 1 \text{ дБ}, \quad H_S = 60 \text{ дБ}, \quad f_{SL} = 4f_{pU},$$
 (4)

передаточная функция ( $\Pi \Phi$ ) каждого звена которого описывается выражением

$$H2_{i}(p) = \frac{a_{0,i}\omega_{c}^{2}}{b_{2,i}p^{2} + b_{1,i}\omega_{c}p + b_{0,i}\omega_{c}^{2}}, \quad i = \{0, 1, 2\}, \quad \omega_{c} = 2\pi f_{pU}.$$
 (5)

По методике [7] рассчитаны порядок ФНЧ  $n_f$  = 6 и параметр  $\varepsilon_p$  (см. рис. 6,  $\delta$ ), затем функцией cheby( $n_f$ ,  $\varepsilon_p$ ) MathCAD – коэффициенты ПФ (5) звеньев.

Операторным методом рассчитана импульсная характеристика (**ИХ**) h(t) ФНЧ-6 и переходной процесс  $D_{tN}(t)$  (см. рис. 3, сплошная линия) интегралом свертки

$$D_{tN}(t) = \int_{0}^{t} D_{N}(\tau)h(t-\tau)d\tau = \begin{cases} \sum_{n=-K}^{K-1} \sum_{j=0}^{n_{f}-1} A_{j} \frac{e^{i(2n+1)2\pi f_{1}t} - e^{p_{j}t}}{i(2n+1)2\pi f_{1} - p_{j}}, & N = 2K; \\ \sum_{n=-K}^{K} \sum_{j=0}^{n_{f}-1} A_{j} \frac{e^{i(2n)2\pi f_{1}t} - e^{p_{j}t}}{i(2n)2\pi f_{1} - p_{j}}, & N = 2K + 1 \end{cases}$$

$$(6)$$

при:

- $-t \in [0, N_{\rm p}T_{\rm d}]$  для разных  $N_{\rm p} \ge 3$ ;
- поглощении спектром РАП (см. рис. 6,  $\delta$ ) границ полос АЧХ ( $f_{pU}$  и  $f_{sL}$ )

$$N f_1 \ge f_{sL}; \tag{7}$$

- условии - за полпериода  $T_{\rm d}$  переходной процесс успевает установиться

$$0.5T_{d} > 5/\min\{|\alpha_{j}|\} \Rightarrow 0.5/f_{1} > 5/\min\{|\alpha_{j}|\} \Rightarrow 0.5N/f_{sL} > 5/\min\{|\alpha_{j}|\} \Rightarrow$$
$$\Rightarrow N > 10f_{sI}/\min\{|\alpha_{j}|\}. \tag{8}$$

В выражении переходного процесса (6) и в условии (8):

- $-A_i, p_i$  коэффициенты вычетов и полюса передаточной функции ФНЧ-6;
- $-\alpha_{i}$  действительные части полюсов  $p_{i}$ .

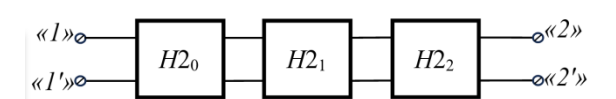


Рис. 5. Структурная схема ФНЧ

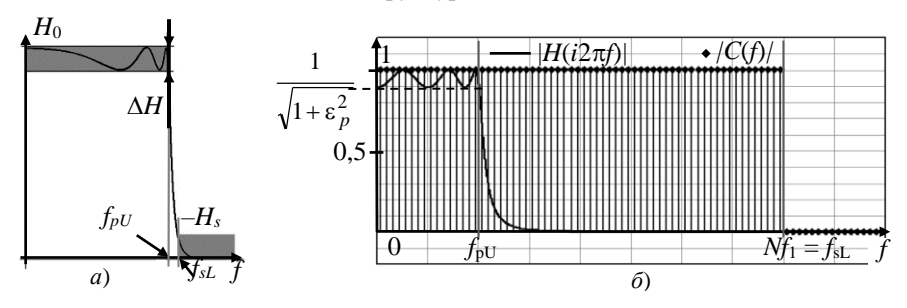


Рис. 6. Параметры ЛАЧХ ФНЧ (а), АЧХ ФНЧ-6 на фоне спектра РАП (б)

Для ФНЧ-6 с параметрами (4) неравенство (8) выполнимо при N > 102.

Процесс (6) сравнили с установившейся составляющей реакции на РАП  $D_{stN}$ (см. рис. 3, точечная линия), рассчитанной суммой комплексного ряда Фурье

$$D_{stN}(t) = \begin{cases} \sum_{k=-0,5N}^{0,5(N-1)} H\{i(2n+1)2\pi f_1\} e^{i(2n+1)2\pi f_1 t} & \text{при } N = 2K; \\ \sum_{0,5(N-1)}^{0,5(N-1)} H\{i(2n)2\pi f_1\} e^{i(2n)2\pi f_1 t} & \text{при } N = 2K+1. \end{cases}$$
(9)

Расчеты (6), (9) выполнены

- при разных значениях  $N = \{128, 256, 512, 768, 1024\}$ ;
- разных комбинациях границ спектра и полосы задерживания (ПЗ)

$$Nf_1 = \{f_{SL}, 1, 5f_{SL}, 2f_{SL}\}.$$
 (10)

Сверка  $D_{tN}$  и  $D_{stN}$  показала – переходные процессы успокаиваются за время

$$t_{\text{IIep}} < 0.5T_{\text{d}},\tag{11}$$

следующие пульсации  $D_{tN}$  периодически повторяются (см. рис. 3).

Очевидно – отсчеты ДПФ от  $D_{tN}$  «не впишутся» в 4X (см. рис. 4 и 7).

Исправить спектры пробуем не ростом длительности РАП, а исключением из ДПФ интервала переходного процесса с запасом. Итог – для отсчетов  $D_{tN}$  на

$$t \in [T_{\rm d}, N_{\rm p}T_{\rm d}] \tag{12}$$

отличия ДПФ переходного процесса от ЧХ при частотах спектра незаметны (рис. 8 и 9). Результаты детальной оценки отличий показаны ниже.

Итого, минимальное число периодов РАП для анализа ЧХ данного ФНЧ-6

$$N_{\rm p,min} = 2. \tag{13}$$

Кроме рассмотренного ФНЧ-6 выполнены аналогичные расчетные эксперименты для ФНЧ 1-го, 2-го и 4-го порядков при разных соотношениях между границами полос  $f_{\text{pU}}$  и  $f_{\text{SL}}$  с аналогичными результатом.

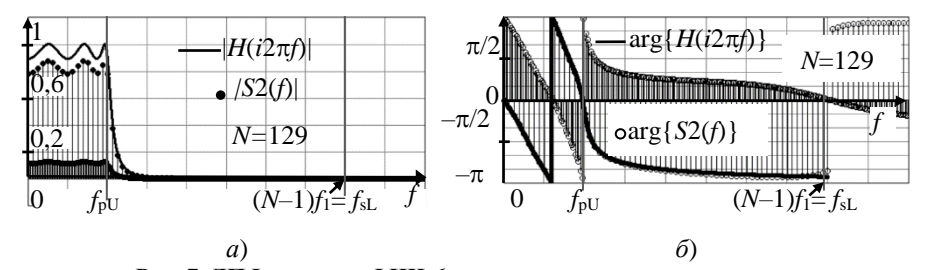


Рис. 7. ДПФ отклика ФНЧ-6 с учетом переходного процесса на фоне частотных характеристик при нечетном N:

a – амплитудный спектр на фоне AЧX,  $\delta$  – фазовый спектр на фоне ФЧX

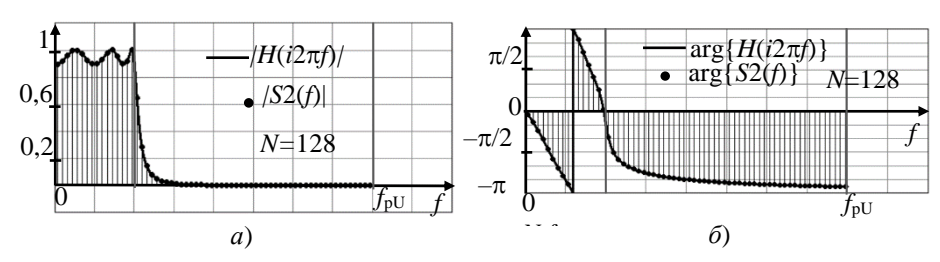


Рис. 8. ДПФ установившейся реакции ФНЧ-6 на фоне ЧХ: a – AЧX и амплитудный спектр;  $\delta$  –  $\Phi$ ЧX и фазовый спектр

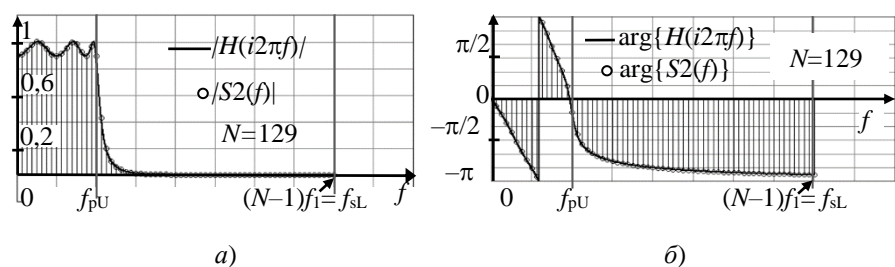


Рис. 9. ДПФ установившейся реакции ФНЧ-6 на фоне ЧХ при нечетном числе N: a – амплитудный спектр на фоне АЧХ,  $\delta$  – фазовый спектр на фоне ФЧХ

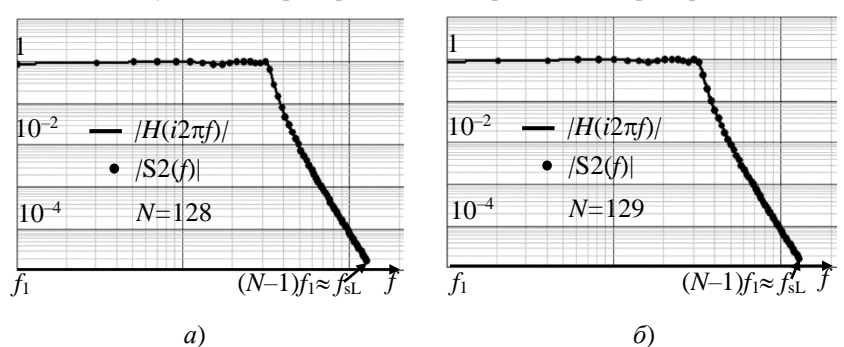


Рис. 10. Амплитудные спектры отклика ФНЧ-6 на РАП на фоне ЛАЧХ: a – амплитудный спектр на фоне АЧХ,  $\delta$  – фазовый спектр на фоне ФЧХ



Рис. 11. Упрощенная структура измерителя АЧХ свипированием

Приемлемое сходство амплитудного спектра отклика и АЧХ имеет место и за пределами полосы пропускания (рис. 10), при  $f_{\rm DU} < f < f_{\rm SL}$ .

## Анализ времени измерения АЧХ методом свипирования

Сравним время анализа ЧХ посредством РАП и ЛЧМ-сигнала (рис. 11).

Точность получения «импульса» A ЧX у<sub>инд</sub> (рис. 12,  $\delta$ ) связана с соотношением длительностей свипирования  $T_{\rm SWP}$  и переходной характеристики ФНЧ [8 – 10]. С последней в статье коррелирована частота  $PA\Pi$   $f_1$  (8). Моделированием в MathCAD исследуем эту взаимосвязь и определим минимальное  $T_{\rm SWP}$ , при котором погрешность измерения AЧX – не выше 0,1 %.

В исследованиях применен типовой ЛЧМ-сигнал

$$y1_{\text{JIYM}}(t) = Y_m \sin\left(\omega_0 t + \frac{\mu t^2}{2}\right), Y_m = 1,$$
 (14)

где

$$\mu = \Delta \omega / T_{\text{swp}} = 2\pi f_{\text{sL}} / T_{\text{swp}}, \tag{15}$$

а частота несущей  $\omega_0 = 0$  – так целесообразней при анализе АЧХ ФНЧ.

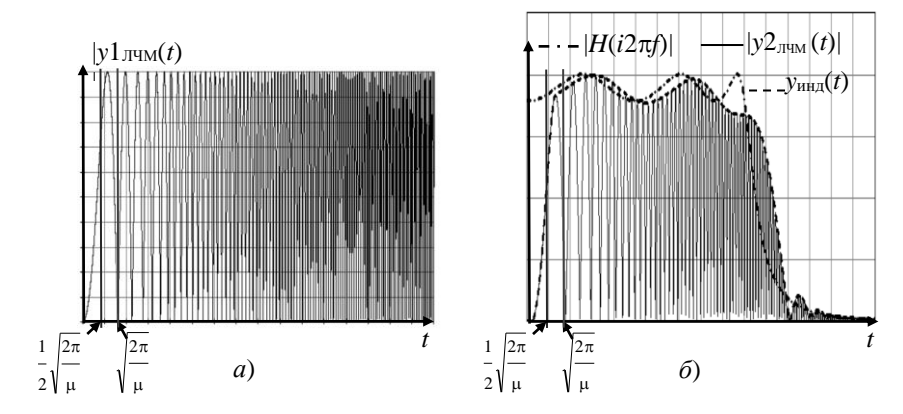


Рис. 12. Модуль ЛЧМ-сигнала (a), модуль реакции на него и АЧХ (б)

Функции индикатора  $y_{\rm инд}(t)$  моделировали исходя из допущения — детектор и сглаживающий фильтр (см. рис. 11) функционируют идеально без дефектов, то есть диаграммы  $y_{\rm инд}(t)$  — огибающая модуля отклика  $|y2_{\rm ЛЧM}(t)|$  (см. рис. 12,  $\delta$ ). Саму функцию отклика получили интегралом свертки

$$y2_{\Pi \Psi M}(t) = \int_{0}^{t} \sin(0.5\mu\tau^{2}) h_{lf}(t-\tau) d\tau \Rightarrow$$
 (16)

$$\Rightarrow y 2_{\Pi \text{UM}}(t) = \sum_{k=0}^{n_f - 1} \left( A_k \int_0^t \left\{ e^{p_k(t - \tau)} \sin\left(0.5\mu\tau^2\right) \right\} d\tau \right), \tag{17}$$

где  $n_f = 6$  – порядок фильтра;  $p_k$  – комплексно-сопряженные собственные частоты,  $A_k$  – вычеты ИХ, то же комплексно-сопряженные.

Эмпирически установлено – для MathCAD форма (17) более оптимальна по совокупности критериев скорости вычисления, сходимости и простоты формулы.

Все экстремумы интервала  $t \in [0, T_{\text{swp}}]$  определяли численным решением

$$y2' лчм(t_{extr,k}) = 0$$
 (18)

с помощью функции программы MathCAD

$$t_{\text{extr.}k} \leftarrow \text{root}[y2' \text{лчм}(t0), t0, t1, t2], \tag{19}$$

вставленной в многоцикличную программу.

Первый ненулевой экстремум  $t_{\text{extr},1}$  определялся на интервале

$$[t1, t2] = \begin{bmatrix} \frac{1}{2} \sqrt{\frac{2\pi}{\mu}}, \sqrt{\frac{2\pi}{\mu}} \end{bmatrix}, \tag{20}$$

где t2 — второй ноль функции (14) (см. рис. 12, a). На диаграмме |y2лчм(t)| (см. рис. 12,  $\delta$ ) первый ненулевой экстремум так же находится между t1 и t2, как и экстремум y1лv4(t). В расчетных экспериментах указанная ситуация наблюдалась при любых соотношениях между частотой t40 и временем свипирования t40 гумр.

Начальное приближение t0 – середина интервала [t1, t2]. Для поиска каждого следующего k-го экстремума границы интервала поиска изменяем так:

- начало следующего k-го интервала конец предыдущего t1 = t2;
- изначально концу интервала ставим в соответствие k-й ноль у $1_{\Pi \Psi M}(t)$  (14)

$$t2 = \sqrt{\frac{k2\pi}{\mu}}; (21)$$

- если при текущем значении t2 не выполняется условие

$$y2'$$
лчм $(t1)$   $y2'$ лчм $(t2) < 0$  (22)

расширяем интервал

$$t2 = t2 + 0.1 \left\{ \sqrt{\frac{(k+1)2\pi}{\mu}} - \sqrt{\frac{k2\pi}{\mu}} \right\}$$
 (23)

до невыполнения (22). При коррекции (23) «перебросов» за значение  $\sqrt{(k+1)2\pi/\mu}$  не наблюдалось.

Для расчета производной в (19) и (22) продифференцирована функция (17)

$$y2'_{\Pi \Psi M}(t) = \sum_{k=0}^{n_f - 1} \left( A_k p_k \int_0^t \left\{ e^{p_k(t - \tau)} \sin(0.5\mu \tau^2) \right\} d\tau \right).$$
 (24)

Окончательно функция огибающей  $y_{\text{инд}}(t)$  (рис. 12,  $\delta$ ) получена по принципу:

— на интервале  $t \in [0, t_{\text{extr},1}]$  огибающая повторяет первую «квази-четверть волны» отклика (17) на ЛЧМ-импульс

$$y_{\text{ИНЛ}}(t) = y2_{\text{ЛЧM}}(t); \tag{25}$$

— на интервале  $t \in (t_{\text{extr},1}, T_{\text{swp}}]$  это функция интерполяции MathCAD

$$y_{\text{инд}}(t) = \text{interp}(Y2, t_{\text{extr}}, y2_{\text{extr}}, t),$$
 (26)

соединяющая экстремумы реакции на ЛЧМ импульс ( $t_{\text{extr.}k}$ ,  $y_{\text{2extr.}k}$ ), где

$$y2_{\text{extr.}k} = |y2_{\Pi} | |y2_{\Pi} | |(t_{\text{extr.}k})|.$$
 (27)

Массив Y2 – результат одной из функций сплайнов программы MathCAD

$$Y2 = lspline(t_{extr}, y_{2extr}).$$
 (28)

Эксперименты выполнены при  $\Delta f = f_{\rm s,L} = 128 f_{\rm l}$ , при времени свипирования

$$T_{\text{swp}} = \{5T_{\text{d}}, 15T_{\text{d}}, 50T_{\text{d}}, 100T_{\text{d}}, 150T_{\text{d}}, 500T_{\text{d}}\},$$
 (29)

что соответствует базе  $B = T_{\text{swp}} \Delta f = \{640, 1920, 6400, 12800, 19200, 64000\}.$ 

На рисунке 13 показаны некоторые результаты анализа. Если не принимать во внимание начальный участок от 0 до первого экстремума  $f_{\rm extr}$ ,1, визуально полученная огибающая не отличается от АЧХ только при  $T_{\rm swp} \ge 500T_{\rm d}$  (см. рис. 13,  $\epsilon$ ).

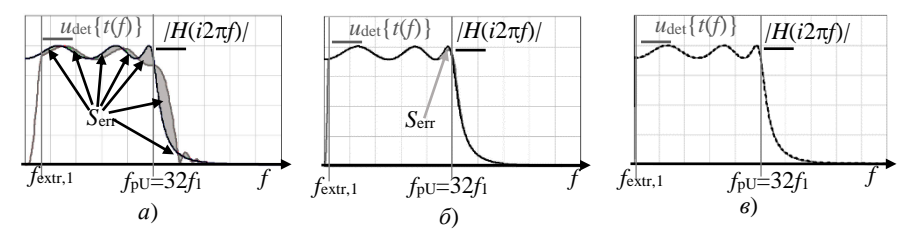


Рис. 13. Отклики ФНЧ-6 на ЛЧМ-сигнал на фоне расчетной АЧХ: a-B=640,  $T_{\rm swp}$ =5 $T_{\rm d}$ ;  $\delta-B$ =6400,  $T_{\rm swp}$ =500 $T_{\rm d}$ 

Погрешности аппроксимации АЧХ при помощи РАП и ЛЧМ сравним сопоставлением суммарных площадей областей ошибки  $S_{err}$ , ограниченных кривой расчетной АЧХ и аппроксимирующими огибающими (рис. 13, 14).

При свипировании при базе B = 640 области ошибки хорошо заметны (см. рис. 13, a), при B = 6400 видна только одна область (см. рис. 13,  $\delta$ ).

При аппроксимации АЧХ спектром РАП области ошибки  $S_{\text{егг}}$  образованы кривой АЧХ и ломаной огибающей спектра (см. рис. 14, a — при четном N, см. рис. 14,  $\delta$  — нечетном N). Представлено при N < 102 для лучшей наглядности.

Оценка площадей областей ошибки  $S_{\rm err}$  выполнена методом трапеций при соотношении между границами спектра РАП и АЧХ –  $Nf_1 = f_{\rm sL} = \Delta f$ .

При ЛЧМ шаг трапеции по частоте  $-h_f = f_1/100$ , по времени  $-h_t = 0.01T_{\text{swp}}/N$ . При выводе выражения ошибки интервал  $0, \ldots, f_{\text{extr},1}$  в расчет не принимался

$$\delta_{\text{JIYM},S} = \left\{ \sum_{L=1}^{N_{\text{swp}}} 0.5 | S_{\text{AYX},L} - S_{\text{swp},L} | \right\} / \sum_{L=1}^{N_{\text{swp}}} S_{\text{AYX},L} , \qquad (30)$$

где  $N_{\rm Swp} = (f_{sL} - f_{\rm extr,1})/h_f$  – число трапеций;  $S_{\rm AYX,L}$  – площадь трапеции AЧX с индексом L

$$S_{AYX,L} = 0.5h_f(|H(i2\pi\{f_{extr,1} + Lh_f\})| + |H(i2\pi\{f_{extr,1} + (L-1)h_f\})|),$$

 $S_{\text{swp},L}$  – площадь трапеции с номером L под линией  $y_{\text{инд}}(t)$ 

$$S_{\text{SWD},L} = 0.5 h_f \{ y_{\text{ИНД}} (2\pi f_{\text{extr},1}/\mu + Lh_t \}) + y_{\text{ИНД}} (2\pi f_{\text{extr},1}/\mu + (L-1)h_t) \}.$$

Оценки (30) выполнены при шести значениях времени свипирования  $T_{\text{swp}}$  (29), построена графическая зависимость в логарифмическом масштабе (рис. 15).

Для оценки ошибки при использовании РАП площадь под ломаной его амплитудного спектра разбита на «грубые» трапеции (см. рис. 14). Длины оснований k-й трапеции — модули спектра РАП  $|S2(f_k)|$  и  $|S2(f_{k+1})|$ , высоты —  $h=2f_1$ . Но у первой трапеция при четном N высота в два раза меньше —  $h=f_1$  (рис. 14, a).

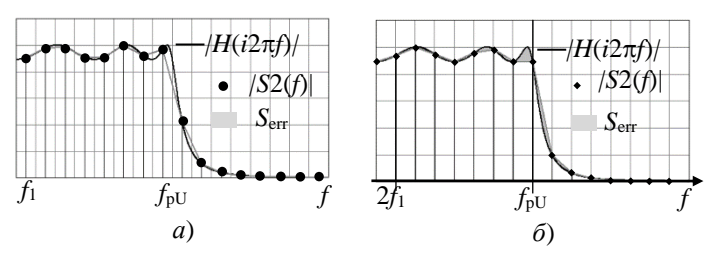


Рис. 14. Площади ошибок при тестировании посредством РАП:  $a-N=64;\, \delta-N=65$ 

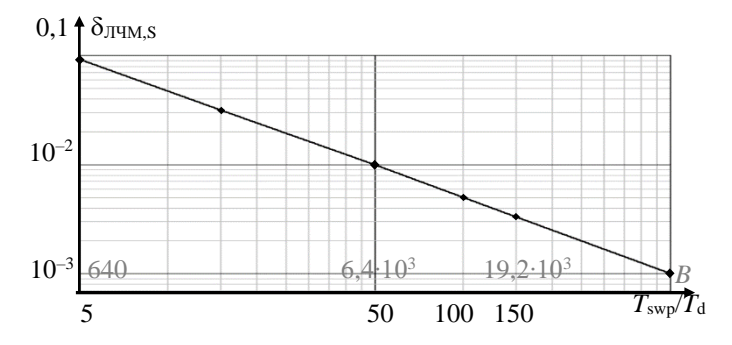


Рис. 15. Ошибка анализа АЧХ свипированием при разной длительности

Амплитудно-частотную характеристику разбиваем чаще. Одной трапеции спектра РАП соответствует 200 фигур АЧХ, а первой при четном N-100, то есть высота трапеций АЧХ  $h_f=0.01\,f_1$ .

Оценка погрешности при использовании РАП выполнена по принципу

$$\delta_{\text{PA}\Pi} = \frac{\sum_{k} \left| S_{\text{A}YX,k} - S_{\text{PA}\Pi,k} \right|}{\sum_{k} S_{\text{A}YX,k}} \,. \tag{31}$$

Выражения для элементарных площадей в (31) при четных N (см. рис. 14, a): — при k=0

$$S_{\mathrm{A4X},0} = \sum_{L=0}^{99} \left( K \left( f_{L+1} \right) + K \left( f_L \right) \right) \frac{h_f}{2} \,, \label{eq:SA4X0}$$

$$S_{\mathrm{PA\Pi},0} = \left\{ \left| S2(f_1) \right| + K(0) \right\} \frac{f_1}{2};$$

- при k = 0...0,5N-2

$$\begin{split} S_{\text{AYX},k} &= \sum_{L=0}^{199} \left\{ K \left( f_k + f_{L+1} \right) + K \left( f_k + f_L \right) \right\} \frac{h_f}{2} \,, \\ S_{\text{PAII},k} &= \left\{ \left| S2 \left( f_{k+1} \right) \right| + \left| S2 \left( f_k \right) \right| \right\} f_1 \,. \end{split}$$

Здесь  $f_L = h_f L$ ,  $f_k = (2k+1)f_1$ ,  $K(f) = |H(i2\pi f)|$  — функция АЧХ. При нечетных N (см. рис. 14,  $\delta$ )

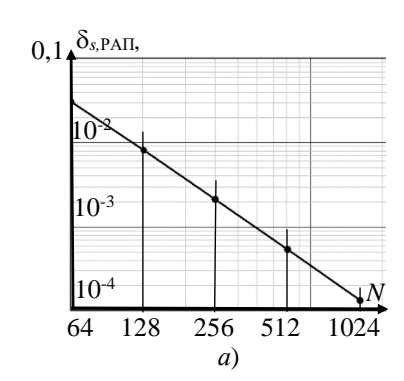
$$S_{\mathrm{AUX},k} = \sum_{L=0}^{199} \left\{ K \left\{ f_k + f_{L+1} \right\} + K \left( f_k + f_L \right) \right\} \frac{h_f}{2} \,, \label{eq:SAUX}$$

$$S_{\text{PAII},k} = \{ |S2(f_{k+1})| + |S2(f_k)| \} f_1,$$

где  $f_k = 2kf_1$ ,  $k = 0 \dots 0.5(N-1) - 1$ .

Оценено при  $N = \{64, 65, 128, 129, 256, 255, 512, 513, 1024, 1025\}$  (рис. 16).

График показывает, что погрешность измерения с помощью ЛЧМ соизмерима с погрешностью аппроксимации спектром РАП (при  $N \ge 128$ ) при времени свипирования, соответствующем 50 периодам РАП, что в 25 раз дольше.



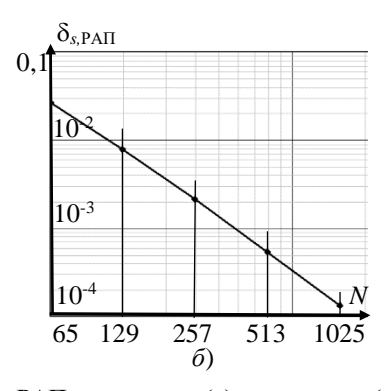


Рис. 16. Ошибка анализа АЧХ с помощью РАП при четном (a) и нечетном  $(\delta)$  N

#### Заключение

При анализе частотных характеристик с помощью равноамплитудного полинома с погрешностью менее 1 % требуется время измерения на порядок меньше, чем время свипирования. При измерении частотных характеристик узлов звуковых систем — это доли секунды. Полученные результаты полезны при разработке более быстродействующих автоматизированных систем анализа частотных характеристик фильтров нижних частот. Диапазон частот анализа зависит от ограничений на частоту дискретизации, связанной с максимальной тактовой частотой микропроцессорной системы формирования равноамплитудного полинома и вычисления дискретного преобразования Фурье.

### Список литературы

- 1. Фролов, С. С. Разработка методов повышения точности информационноизмерительных систем параметров амплитудно-фазочастотных характеристик : дис. . . . канд. техн. наук : 05.11.16 / Фролов Сергей Сергеевич. — Самара, 2008. — 192 с.
- 2. Пат. 2025899 Российская Федерация, МПК Н04В 3/46. Устройство для контроля и настройки амплитудно-частотных характеристик / К. А. Семенов, В. А. Марков, В. П. Шаров, С. Н. Булкин, В. В. Зинковский, В. Б. Турчаков, А. Н. Маринич, Е. В. Комиссаров, В. И. Баландин, В. А. Шалаев ; заявитель Ленингр. высшее инж. морское училище им. адм. С. О. Макарова ; патентообладатель Гос. морская акад. им. адм. С.О. Макарова. № 4676485/09 ; заявл. 11.04.1989 ; опубл. 30.12.1994, Бюл. № 36. 15 с.
- 3. Пат. 2721018 Российская Федерация, МПК G01R 27/28. Способ контроля амплитудно-частотной характеристики фильтра / Ю. Н. Цыбин; заявитель и патентообладатель АО «Научно-исследовательский институт командных приборов». № 2019108858; заявл. 26.03.2019; опубл. 15.05.2020, Бюл. № 14. 7 с.
- 4. Петросьянц, В. В. Автоматизация процесса снятия амплитудно-частотных характеристик электронных устройств / В. В. Петросьянц, А. Д. Бурындина // Молодой ученый. Технические науки. -2017. -№ 22 (156). C. 65 68.
- 5. Спектральный анализ ограниченных во времени сигналов. Эффект растекания спектра. – Текст электрон. / Pecypc DSPLIB.org. – URL: https://ru.dsplib.org/ content/spectral leakage/spectral leakage.html (дата обращения: 02.09.2023).
- 6. Сергиенко, А. Б. Цифровая обработка сигналов / А. Б. Сергиенко. СПб. : Питер, 2002.-608 с.
- 7. Расчет аналогового нормированного фильтра. Постановка задачи и способы аппроксимации AЧX идеального нормированного ФНЧ. Текст электронный / Pecypc DSPLIB.org // URL: http://www.dsplib.ru/content/filters/ch2/ch2.html (дата обращения 10.07.2023).
- 8. Прибор для исследования амплитудно-частотных характеристик X1-40. Техническое описание и инструкция по эксплуатации. Текст электрон. М. : ВО «МАШПРИБОРИНТОРГ», 1980. 102 с. –URL : https://www.qrz.ru/schemes/detail/12917.html (дата обращения: 02.09.2023).
- 9. Прибор для исследования амплитудно-частотных характеристик X1-42. Техническое описание и инструкция по эксплуатации. Текст электрон. URL:https://www.astena.ru/DOWNLOAD/x1-42\_teh.zip (дата обращения: 02.09.2023).
- 10. Прибор для исследования амплитудно-частотных характеристик X1-55. Техническое описание и инструкция по эксплуатации. Текст электрон. URL: https://www.astena.ru/DOWNLOAD/x1-55.zip (дата обращения: 02.09.2023).

# Evaluation of the Performance of Measuring the Frequency Characteristics of Low-Pass Filters when Testing a Signal with an Equal-Amplitude Complex Series

S. S. Frolov, O. V. Khudorozhkov, P. A. Pavlov

Department of Industrial Electronics and Information Measuring Technology, frolovsergey7@mail.ru, Orenburg State University, Orenburg, Russia

**Keywords:** automated measurement; measurement of frequency responses; Chirp pulse; rectangular spectrum; equal-amplitude cosine series; equal-amplitude complex spectrum; equal-amplitude polynomial; sweep.

**Abstract:** The article presents the results of a study of the minimum time for measuring the frequency responses (FR) of low-pass filters (LPF) when exposed to a digitally method generated fragment of a signal with a limited equal-amplitude complex spectrum (LEACS). A comparative analysis of the processes for measuring the frequency response of a Chebyshev low-pass filter of the sixth order showed that the time to establish the spectrum of the low-pass filter response to the SRCS is significantly less than the sweep time when using a chirp-signal.

### References

- 1. Frolov S.S. PhD of Doctor's thesis (Eng.), Samara, 2008, 192 p. (In Russ.)
- 2. Semenov K.A., Markov V.A., Sharov V.P., Bulkin S.N., Zinkovsky V.V., Turchakov V.B., Marinich A.N., Komissarov E.V., Balandin V.I., Shalaev V.A. *Ustroystvo dla controla i nastroyki amplitudno-chastotnich characteristik* [Device for monitoring and adjusting amplitude-frequency characteristics], Russian Federation, 1994, Pat. 2025899 (In Russ.).
- 3. Tsybin Yu. N. *Sposob controla amplitudno-chastotnich characteristik filtra* [Method for monitoring the amplitude-frequency response of a filter], Russian Federation, 2020, Pat. 2721018 (In Russ.).
- 4. Petrosyants V.V., Buryndina A.D. [Automation of the process of taking amplitude-frequency characteristics of electronic devices], *Molodoy uchenyy. Tekhnicheskiye nauki* [Young Scientist. Technical Sciences], 2017, no. 22(156), pp. 65-68. (In Russ., abstract in Eng.)
- 5. Available at: https://ru.dsplib.org/content/spectral\_leakage/spectral\_leakage. html (accessed10 September 2023).
- 6. Sergiyenko, A.B. Tsifrovayaobrabotkasignalov [Digital signal processing], St. Petersburg, 2002, 608 p. (In Russ.)
- 7. Available at:http://www.dsplib.ru/content/filters/ch2/ch2.html (accessed 10 July 2023).
- 8. Available at:https://www.qrz.ru/schemes/detail/12917.html (accessed 02 September 2023).
- 9. Available at:https://www.astena.ru/DOWNLOAD/x1-42\_teh.zip (accessed 02 September 2023).
- 10. Available at:https://www.astena.ru/DOWNLOAD/x1-55.zip (accessed 02 September 2023).

## Bewertung der Messleistung der Frequenzeigenschaften von Tiefpassfiltern beim Testen durch Signal mit einer gleichamplituden-komplexen Reihe

**Zusammenfassung:** Es sind die Ergebnisse der Studie über die Mindestzeit für die Messung der Frequenzcharakteristik (FC) von Tiefpassfiltern (TPF) unter dem Einfluss eines digital erzeugten Signalfragments mit einem Gleich-Amplituden-Komplexspektrum (SORX) vorgestellt. Die vergleichende Analyse der Messverfahren des Tschebyscheff-NF-LF-LCF-Antwortspektrums sechster Ordnung hat gezeigt, dass die Zeit für die Einstellung des NF-Antwortspektrums auf SORX viel kürzer ist als die Zeit für die Frequenzabtastung mit Hilfe eines TPF-Signals.

# Évaluation des performances de mesure des caractéristiques de fréquence des filtres de basses fréquences lors du test du signal avec une série complexe à amplitude égale

**Résumé:** Sont cités les résultats d'une étude du temps de mesure minimal des caractéristiques de fréquence (CF) des filtres de basses fréquences (FBF) lorsqu'ils sont exposés à un fragment numérique d'un signal à spectre complexe à amplitude égale limitée (SCAEL). L'analyse comparative des processus de mesure de CF FBF de Tchebyshev du sixième ordre a montré que le temps d'établissement du spectre de réponse de la FBF au SCAEL est beaucoup moins long que le temps de balayage de la fréquence à l'aide de la modulation de fréquence linéaire de signal.

Авторы: Фролов Сергей Сергеевич — кандидат технических наук, доцент кафедры промышленной электроники и информационно-измерительной техники; Худорожков Олег Викторович — кандидат технических наук, доцент, заведующий кафедрой промышленной электроники и информационно-измерительной техники; Павлов Павел Александрович — студент, ФГБОУ ВО «Оренбургский государственный университет», Оренбург, Россия.